

تغییر مکان قائم دیسک صلب^۱ مدفون در محیط نیمه بینهایت ایزوتروپ^۲

جانبی^۳

امیر عباس کاتبی^۱، محمد رحیمیان^{*۲}، علی خجسته^۳ و علیرضا صناعی‌ها^۴

^۱ کارشناس ارشد سازه دانشکده مهندسی عمران پرديس دانشکده‌های فنی دانشگاه تهران

^۲ استاد دانشکده مهندسی عمران پرديس دانشکده‌های فنی دانشگاه تهران

^۳ استادیار گروه علوم پایه مهندسی پرديس دانشکده‌های فنی دانشگاه تهران

^۴ دانشجوی دکتری سازه دانشکده مهندسی عمران پرديس دانشکده‌های فنی دانشگاه تهران

(تاریخ دریافت ۱۳۸۸/۰۴/۰۸، تاریخ دریافت روایت اصلاح شده ۱۳۹۰/۰۸/۱۰، تاریخ تصویب ۱۳۹۰/۰۹/۲۲)

چکیده

در این مقاله مسئله اندرکنش خاک-سازه برای یک دیسک صلب مدفون متقاض محدودی در یک محیط نیمه بینهایت ایزوتروپ جانبی تحت بار قائم مورد بررسی قرار گرفته است. معادلات تعادل دینامیکی حاکم بر مسئله در دستگاه مختصات استوانه‌ای (r, θ, z) بصورت یک سری معادلات در گیر^۵ می‌باشد. با استفاده از دوتابع پتانسیل^۶ برای مسائل الاستودینامیک^۷ این معادلات بطور کامل مجزا سازی می‌شوند. با استفاده از تبدیل هنکل^۸ در امتداد شعاعی و اعمال شرایط مرزی به معادلات انتگرالی دوگانه^۹ می‌رسیم. برای حل عددی و تحلیلی، معادلات انتگرالی دوگانه به معادله انتگرالی فردヘルم نوع دوم تبدیل خواهد شد. در انتهای نتایج بصورت گرافیکی ارائه می‌شود. نتایج برای محیط‌های ایزوتروپ با استفاده از نتایج بدست آمده برای محیط‌های ایزوتروپ جانبی استخراج شده و با نتایج موجود برای محیط‌های ایزوتروپ مقایسه می‌گردد.

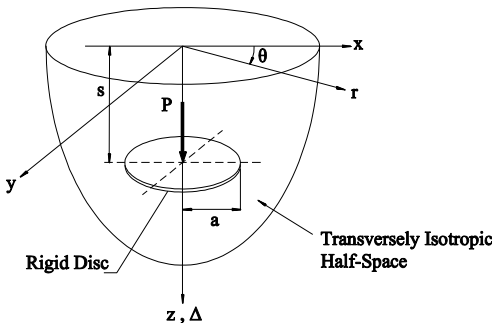
واژه‌های کلیدی: توابع پتانسیل، دیسک صلب مدفون، محیط ایزوتروپ جانبی، تبدیل هنکل، معادلات انتگرالی

دوگانه، معادله انتگرالی فردヘルم^{۱۰}

مقدمه

می‌توان Sneddon در سال ۱۹۵۱ [۶]، Keer در سال ۱۹۶۷ [۷]، Spence در سال ۱۹۶۸ [۸]، Selvadurai در سال ۱۹۷۹ [۹] را برشمرد. مسئله دیسک صلب مدفون در حالت کلی در محیط نیمه بینهایت ایزوتروپ با روش‌های عددی توسط Butterfield و Banerjee در سال ۱۹۷۱ [۱۰] حل شده است. Pak و Gobert در سال ۱۹۷۱ [۱۱] مسئله دیسک صلب مدفون را تحت بار قائم در محیط ایزوتروپ نیمه بینهایت مورد بررسی قرار دادند. در حال حاضر با توجه به استفاده روز افزون از مواد ناهمسان^۹ نیاز به تحقیقات در این محیط‌ها بیشتر احساس می‌شود. برای مثال مواد کامپوزیت که در سال‌های اخیر در زمینه علوم و مهندسی کاربرد گسترده‌ای یافته‌اند دارای خاصیت ناهمسانی می‌باشند. از سوی دیگر در زمینه‌ایی که خاک تحت اثر نیروی ثقل رسوب کرده است و نهشته‌های طبیعی سربار شده روی هم تشکیل داده است خاصیت ناهمسانی وجود دارد. اما با توجه به ملاحظات کاربردی در زمینه مهندسی محیط‌های

اندرکنش دیسک صلب با محیط الاستیک از موضوعات قابل توجه در ریاضیات و مکانیک کاربردی می‌باشد. یک مثال کلاسیک از اندرکنش خاک-سازه در مهندسی عمران، انواع تحلیل‌هایی است که به فهم اساسی از رفتار مسائل به کارهای Boussinesq در سال ۱۸۸۵ [۱] که به پاسخ محیط به بار متتمرکز در محیط نیمه بینهایت پرداخته است، بر می‌گردد. Sneddon و Harding در سال ۱۹۴۵ [۲] این مسئله را بازنگری کردند و چگونگی استفاده از تبدیلات انتگرالی را برای اینگونه مسائل نشان دادند. سپس Collins در سال ۱۹۶۲ [۳] و Keer در سال ۱۹۶۵ [۴] اندرکنش دیسک نازک صلب در یک محیط ایزوتروپ جامد نامحدود تحت جابجایی اولیه را بررسی کردند. Sih و Kassir در سال ۱۹۶۸ [۵] مسئله مشابهی را برای دیسک بیضی حل کردند. همچنین مسائل متعدد دیگری مرتبط با دیسک صلب در محیط نیمه بینهایت مورد تحقیق واقع شده است که از آن جمله



شکل ۱: دیسک صلب در محیط نیمه بینهایت ایزوتروپ جانبی

تشکیل معادلات انتگرالی دوگانه

معادلات تعادل بر حسب مؤلفه‌های بردار تغییرمکان در غیاب نیروهای جرمی و در حالت متقارن محوری به صورت زیر بیان می‌شود [۱۲].

$$\begin{aligned} & c_{11} \left(\frac{\partial^2 u_r}{\partial r^2} + \frac{1}{r} \frac{\partial u_r}{\partial r} - \frac{u_r}{r^2} \right) + c_{44} \frac{\partial^2 u_r}{\partial z^2} \\ & + (c_{13} + c_{44}) \frac{\partial^2 u_z}{\partial r \partial z} = 0 \\ & c_{44} \left(\frac{\partial^2 u_z}{\partial r^2} + \frac{1}{r} \frac{\partial u_z}{\partial r} \right) + c_{33} \frac{\partial^2 u_z}{\partial z^2} \\ & + (c_{13} + c_{44}) \left(\frac{\partial^2 u_r}{\partial r \partial z} + \frac{1}{r} \frac{\partial u_r}{\partial z} \right) = 0 \end{aligned} \quad (۹)$$

که در آن u_r و u_z مؤلفه‌های بردار تغییرمکان به ترتیب در امتدادهای r و z می‌باشند و c_{ij} ثابت‌های ارجاعی می‌باشند.

اگر E' معرف مدول یانگ در صفحه ایزوتربوی، E معرف مدول یانگ عمود بر صفحه ایزوتربوی، V معرف ضریب پواسون در صفحه ایزوتربوی (جمع شدگی در صفحه ایزوتربوی به علت کشش در همین صفحه)، V' معرف ضریب پواسون عمود بر صفحه ایزوتربوی (جمع شدگی عمود بر صفحه ایزوتربوی به علت کشش در این صفحه)، G معرف مدول برشی در صفحه ایزوتربوی و G' معرف مدول برشی در صفحات عمود بر صفحه ایزوتربوی باشد در این صورت خواهیم داشت [۱۳].

ناهمسان معمولاً بصورت ایزوتروپ جانبی و در برخی حالات بصورت ارتوتروپ^۱ مدل می‌شوند.

در این مقاله یک فرمول‌بندی تحلیلی برای مسئله دیسک صلب مدفون در یک محیط نیمه بینهایت ایزوتروپ جانبی تحت بار متقارن قائم ارائه شده است. بوسیله روش پتانسیل و آزاد سازی شرایط مرزی، شرایط مرزی اولیه مسئله با کمک تبدیل هنکل به صورت معادله انتگرالی دوگانه فرمول‌بندی می‌شود. در این مقاله، دیسک به صورت دایره‌ای به شعاع a به صورت مدفون در عمق s در یک محیط نیمه بینهایت الاستیک خطی ایزوتروپ جانبی می‌باشد (شکل ۱). فرض می‌شود دیسک در معرض یک سیستم نیرویی قرار گرفته است که منجر به تغییر مکان قائم Δ در جهت z می‌شود. با توجه به تقارن محوری، مسئله به صورت طبیعی با مختصات استوانه‌ای (r, θ, z) که z محور تقارن آن می‌باشد، مطابق است.

شرایط مرزی مسئله به صورت زیر بیان می‌شود:

$$u_z(r, s) = \Delta, \quad r < a \quad (۱)$$

$$u_z(r, s^+) = u_z(r, s^-), \quad r \in [0, +\infty) \quad (۲)$$

$$u_r(r, s^+) = u_r(r, s^-), \quad r \in [0, +\infty) \quad (۳)$$

$$u_\theta(r, s^+) = 0, \quad r, z \in [0, +\infty) \quad (۴)$$

$$\sigma_{zz}(r, 0) = \sigma_{rz}(r, 0) = 0, \quad r \in [0, +\infty) \quad (۵)$$

$$\sigma_{rz}(r, s^+) = \sigma_{rz}(r, s^-), \quad r \in [0, +\infty) \quad (۶)$$

$$\sigma_{zz}(r, s^+) - \sigma_{zz}(r, s^-) = -R(r), \quad r < a \quad (۷)$$

$$\sigma_{zz}(r, s^+) = \sigma_{zz}(r, s^-), \quad r > a \quad (۸)$$

در اینجا، $R(r)$ توزیع تنش تتماسی^{۱۱} نامشخص وارد بر دیسک می‌باشد. با توجه به خاصیت محیط نیمه بینهایت خواهیم داشت:

$$\sigma \rightarrow 0 \text{ as } \sqrt{r^2 + z^2} \rightarrow \infty$$

که در آن

$$\nabla_i^2 = \nabla_r^2 + \frac{1}{s_i^2} \frac{\partial^2}{\partial z^2}, \quad i=1,2 \quad (15)$$

پارامترهای s_1^2 و s_2^2 ریشه‌های معادله زیر هستند.

$$c_{33}c_{44}s^4 + (c_{13}^2 + 2c_{13}c_{44} - c_{11}c_{33})s^2 + c_{11}c_{44} = 0 \quad (16)$$

نشان داده شده است که s_1 و s_2 می‌توانند اعداد مختلط باشند اما نمی‌توانند اعداد موهومی خالص باشند [۱۲]. با توجه به هندسه و شرایط مرزی مسئله بسیار مناسب می‌باشد که از تبدیل هنکل مرتبه m ام نسبت به امتداد شعاعی r به شرح زیر استفاده شود [۱۵].

$$\tilde{f}^m(\xi, z) = \int_0^\infty f(r, z) r J_m(r\xi) dr \quad (17)$$

که تبدیل معکوس^{۱۲} هنکل آن عبارتست از:

$$f(r, z) = \int_0^\infty \tilde{f}^m(\xi, z) \xi J_m(r\xi) d\xi \quad (18)$$

که در آن J_m تابع بسل^{۱۳} نوع اول از مرتبه m می‌باشد. مطابق با کاربرد ثوری هنکل مرتبه صفر، معادله دیفرانسیل معمولی حاکم بر F (۱۴) به صورت زیر بدست می‌آید:

$$(\tilde{\nabla}_{10}^2 \tilde{\nabla}_{20}^2) \tilde{F}^0(z) = 0 \quad (19)$$

که در آن

$$\tilde{\nabla}_{10}^2 = -\xi^2 + \frac{1}{s_i^2} \frac{d^2}{dz^2}, \quad i=1,2 \quad (20)$$

با استفاده از رابطه (۱۲) و با کمک تعریف هنکل معکوس، تغییر مکانها در فضای تبدیل یافته^{۱۴} بر حسب تابع پتانسیل F به صورت زیر نوشته می‌شوند:

$$\begin{aligned} \tilde{u}_z^0 &= \left[\alpha_2 \frac{d^2}{dz^2} - \xi^2 (1 + \alpha_1) \right] \tilde{F}^0 \\ \tilde{u}_r^1 &= \alpha_3 \xi \frac{d\tilde{F}^0}{dz} \end{aligned} \quad (21)$$

$$\begin{aligned} c_{11} &= \frac{E(1 - \frac{E}{E'} v'^2)}{(1+v)(1-v-2\frac{E}{E'} v'^2)}, \\ c_{13} &= \frac{Ev'}{1-v-2\frac{E}{E'} v'^2}, \quad c_{33} = \frac{E'(1-v)}{1-v-2\frac{E}{E'} v'^2} \\ c_{44} &= G', \quad c_{66} = \frac{E}{2(1+v)} = G, \quad c_{66} = \frac{c_{11} - c_{12}}{2} \end{aligned} \quad (10)$$

برای مصالح ایزوتrop رابطه (۱۰) به فرم زیر بازنویسی می‌شود:

$$\begin{aligned} c_{11} = c_{33} &= \frac{E(1-v)}{(1+v)(1-2v)} \\ c_{12} = c_{13} &= \frac{Ev}{(1+v)(1-2v)} \\ c_{44} = c_{66} &= \frac{E}{2(1+v)} \end{aligned} \quad (11)$$

معادلات تعادل (۹) یک دستگاه معادلات دیفرانسیل درگیر با مشتقهای جزئی می‌باشند. به منظور محذا سازی این معادلات از تابع پتانسیل F استفاده شده است. مؤلفه‌های بردار تغییر مکان بر حسب تابع پتانسیل F در دستگاه مختصات استوانه‌ای به صورت زیر نوشته می‌شوند [۱۴].

$$\begin{aligned} u_r(r, z) &= -\alpha_3 \frac{\partial^2 F(r, z)}{\partial r \partial z} \\ u_z(r, z) &= \left[(1 + \alpha_1) \nabla_r^2 + \alpha_2 \frac{\partial^2}{\partial z^2} \right] F(r, z) \end{aligned} \quad (12)$$

که در آن

$$\begin{aligned} \nabla_r^2 &= \frac{\partial^2}{\partial r^2} + \frac{1}{r} \frac{\partial}{\partial r} \\ \alpha_1 &= \frac{c_{12} + c_{66}}{c_{66}}, \quad \alpha_2 = \frac{c_{44}}{c_{66}}, \quad \alpha_3 = \frac{c_{13} + c_{44}}{c_{66}} \end{aligned} \quad (13)$$

با قرار دادن روابط (۱۲) در معادلات تعادل (۹)، معادله دیفرانسیل حاکم بر تابع پتانسیل F بصورت زیر در می‌آید:

$$(\nabla_1^2 \nabla_2^2) F = 0 \quad (14)$$

$$Z_0(\xi) = \tilde{R}_0(\xi) \quad (26)$$

$$\begin{aligned} \Omega_2(\xi, z; s) &= \frac{1}{2c_{33}(s_1^2 - s_2^2)\xi} \{ \nu_2 s_1 e^{-s_1 \xi |z-s|} - \\ &\quad \nu_1 s_2 e^{-s_2 \xi |z-s|} - \frac{s_1 + s_2}{s_1 - s_2} (\nu_2 s_1 e^{-s_1 \xi (z+s)} + \nu_1 s_2 e^{-s_2 \xi (z+s)}) \\ &+ \frac{2s_1 s_2}{s_1 - s_2} \left(\frac{\eta_1}{\eta_2} \nu_2 e^{-\xi(s_1 z + s_2 s)} + \frac{\eta_2}{\eta_1} \nu_1 e^{-\xi(s_2 z + s_1 s)} \right) \} \end{aligned} \quad (27)$$

در اینجا

$$\eta_i = c_{13} + c_{33}s_i^2, \quad \nu_i = c_{44} - c_{33}s_i^2, \quad (28)$$

اگر c_{11} تا c_{66} برای مصالح ایزوتروپ از رابطه (۱۱) جایگزین شوند، در این صورت رابطه (۲۸) به شرح زیر در می‌آید:

$$\begin{aligned} \Omega_2(\xi, z; s) &= \frac{1}{8(1-\nu)\xi} \{ e^{-\xi|z-s|} (3 - 4\nu + \xi|z-s|) | \\ &+ e^{-\xi(z+s)} [5 - 12\nu + 8\nu^2 + (3 - 4\nu)\xi(z+s) + 2zs\xi^2] \} \end{aligned} \quad (29)$$

و Gobert و Pak در سال ۱۹۹۰ برای محیط نیمه‌بینهایت با رفتار ایزوتروپ، رابطه فوق را در مرجع شماره [۱۱] بیان کرده‌اند. از لحاظ تحلیلی نتایج حاضر در این مقاله کاملاً با نتایج ارائه شده توسط Gobert و Pak در سال ۱۹۹۰ برای مصالح ایزوتروپ مطابقت دارد. با کمک روابط (۲۵) و (۲۶)، دو شرط مرزی باقیمانده (۱) و (۸) منجر به تشکیل معادلات انتگرالی زیر خواهد شد:

$$\int_0^\infty \Omega_2(\xi, s; s) \frac{\xi Z_0(\xi)}{c_{44}} J_0(r\xi) d\xi = \Delta, \quad r < a \quad (30)$$

و

$$\int_0^\infty Z_0(\xi) \xi J_0(r\xi) d\xi = 0, \quad r > a \quad (31)$$

که در رابطه (۳۰):

همچنین تنش‌ها در فضای تبدیل یافته بر حسبتابع پتانسیل F به صورت زیر بیان می‌شوند:

$$\begin{aligned} \tilde{\sigma}_{zz}^0 &= \frac{d}{dz} [\alpha_3 c_{13} \xi^2 - c_{33} \xi^2 (1 + \alpha_1)] \\ &\quad + c_{33} \alpha_2 \frac{d^2}{dz^2} \tilde{F}^0 \\ \tilde{\sigma}_{rr}^0 + 2c_{66} \left(\frac{\tilde{u}_r}{r} \right)^0 &= \frac{d}{dz} [\alpha_3 c_{11} \xi^2 - c_{13} \xi^2 (1 + \alpha_1)] \\ &\quad + c_{13} \alpha_2 \frac{d^2}{dz^2} \tilde{F}^0 \\ \tilde{\sigma}_{\theta\theta}^0 - 2c_{66} \left(\frac{\tilde{u}_r}{r} \right)^0 &= \frac{d}{dz} [\alpha_3 c_{12} \xi^2 - c_{13} \xi^2 (1 + \alpha_1)] \\ &\quad + c_{13} \alpha_2 \frac{d^2}{dz^2} \tilde{F}^0 \\ \tilde{\sigma}_{rz}^1 &= c_{44} \xi \left[(\alpha_3 - \alpha_2) \frac{d^2}{dz^2} + \xi^2 (1 + \alpha_1) \right] \tilde{F}^0 \\ \tilde{\sigma}_{r\theta} &= \tilde{\sigma}_{z\theta} = 0 \end{aligned} \quad (22)$$

با توجه به شکل شماره (۱)، محیط نیم بینهایت از دو ناحیه در پایین و بالای دیسک صلب با مصالح مشابه تشکیل شده‌است (ناحیه I $0 < z < s$ و ناحیه II $z > s$). با توجه به دو ناحیه I و II، حل کلی معادله (۱۷) به صورت زیر نوشته می‌شود:

$$\begin{aligned} \tilde{F}^0(\xi, z) &= A^I(\xi) e^{-s_1 \xi z} B^I(\xi) e^{-s_2 \xi z} + \\ &C^I(\xi) e^{-s_1 \xi z} + D^I(\xi) e^{-s_2 \xi z}, \quad z < s \end{aligned} \quad (23)$$

$$\tilde{F}^0(\xi, z) = A^{II}(\xi) e^{-s_1 \xi z} + B^{II}(\xi) e^{-s_2 \xi z}, \quad z > s \quad (24)$$

ثابت‌های A^I, B^I, \dots, B^{II} در معادلات فوق توابعی مجهول می‌باشند که با نوشتن شرایط مرزی (۲) تا (۷) بر حسب (۸) بدست می‌آیند. بر پایه نتایج فوق و اعمال شرایط مرزی تغییرمکان قائم به صورت انتگرالی زیر بدست می‌آید:

$$u_z(r, z) = \int_0^\infty \Omega_2(\xi, z; s) \frac{\xi Z_0(\xi)}{c_{44}} J_0(r\xi) d\xi \quad (25)$$

که در آن

$$\delta_s = \frac{2c_{33}(s_1 + s_2)\Delta}{c_{44} + c_{33}s_1s_2}, \alpha = -1, \gamma = 0 \quad (39)$$

مطابق با (۳۵) و (۱۵) Noble روابط با کمک انتگرال Sonine در حالتی که $-2 < \alpha < 0$ می‌باشد، به فرم زیر نوشته می‌شود:

$$\int_0^\infty \frac{1}{\sqrt{\xi}} [1 + H_s(\xi)] B(\xi) J_{-\frac{1}{2}}(r\xi) d\xi = \frac{r^{-\frac{1}{2}}}{2^{-\frac{1}{2}} \Gamma(\frac{1}{2})} \delta_s, \quad r < a \quad (40)$$

$$\int_0^\infty \frac{1}{\sqrt{\xi}} B(\xi) J_{-\frac{1}{2}}(r\xi) d\xi = 0, \quad r > a \quad (41)$$

در (۴۰)، $\Gamma(x)$ تابع گاما می‌باشد. برای حل عددی معادلات انتگرالی دوگانه فوق، Noble (۱۹۶۳) آنها را به معادله انتگرالی فردヘルم دوم تبدیل می‌کند. بدین منظور مناسب است تابع θ به فرم زیر تعریف شود:

$$B(\xi) = \frac{\xi^{\frac{3}{2}}}{2^{-\frac{1}{2}} \Gamma(\frac{1}{2})} \int_0^a \rho^{\frac{1}{2}} \theta(\rho) J_{-\frac{1}{2}}(\rho\xi) d\rho, \quad \xi \in [0, \infty) \quad (42)$$

که معکوس آن به صورت زیر بیان می‌شود:

$$\theta(r) = \frac{r^{\frac{1}{2}} \Gamma(\frac{1}{2})}{2^{\frac{1}{2}}} \int_0^\infty \xi^{-\frac{1}{2}} B(\xi) J_{-\frac{1}{2}}(r\xi) d\xi, \quad r < a \quad (43)$$

$$\theta(r) = 0, \quad r > a \quad (44)$$

معادلات انتگرالی (۴۰) و (۴۱) به کمک روابط (۴۲) و (۴۳) به معادله انتگرالی فردヘルم نوع دوم زیر تبدیل می‌شود:

$$\theta(r) + \frac{1}{\pi} \int_0^a K_s(r, \rho) \theta(\rho) d\rho = \delta_s \quad (45)$$

که در آن

$$\begin{aligned} \Omega_2(\xi, s; s) = & \frac{1}{2c_{33}(s_1^2 - s_2^2)\xi} \{v_2 s_1 - v_1 s_2 \\ & - \frac{s_1 + s_2}{s_1 - s_2} (v_2 s_1 e^{-2s_1 \xi s} + v_1 s_2 e^{-2s_2 \xi s}) \\ & + \frac{2s_1 s_2}{s_1 - s_2} \left(\frac{\eta_1}{\eta_2} v_2 + \frac{\eta_2}{\eta_1} v_1 \right) e^{-\xi(s_1 + s_2)s} \} \end{aligned} \quad (32)$$

که دارای خاصیت زیر می‌باشد:

$$\lim_{\xi \rightarrow \infty} \xi \Omega_2(\xi, s; s) = \frac{c_{44}}{2c_{33}(s_1 + s_2)} \left[1 + \frac{(1 + \alpha_1)}{\alpha_2 s_1 s_2} \right] \quad (33)$$

با قرار دادن $s = 0$ در (۳۱) داریم:

$$\Omega_2(\xi, 0; 0) = \frac{\sqrt{c_{11}c_{33}}(c_{13} + c_{44})(s_1 + s_2)}{\xi(c_{13} + c_{33}s_1^2)(c_{13} + c_{33}s_2^2)} \quad (34)$$

تبدیل معادلات انتگرالی دوگانه به معادله انتگرالی فردヘルم

برای حل معادلات انتگرالی دوگانه (۳۰) و (۳۱) برای مسائل مدفون، آنها را به فرم کلی زیر بازنویسی می‌کنیم:

$$\int_0^\infty \xi^\alpha \{1 + H(\xi)\} B(\xi) J_\gamma(r\xi) d\xi = \delta_s, \quad r < a \quad (35)$$

$$\int_0^\infty B(\xi) J_\gamma(r\xi) d\xi = 0, \quad r > a \quad (36)$$

که در آن

$$B(\xi) = \frac{\xi Z_0(\xi)}{c_{44}} \quad (37)$$

$$\begin{aligned} H_s(\xi) = & \frac{1}{(s_1 - s_2)(c_{44} + c_{33}s_1s_2)} \left\{ \frac{2s_1 s_2}{s_1 - s_2} \left(\frac{\eta_1}{\eta_2} v_2 \right. \right. \\ & \left. \left. + \frac{\eta_2}{\eta_1} v_1 \right) e^{-\xi(s_1 + s_2)s} - \frac{s_1 + s_2}{s_1 - s_2} (v_2 s_1 e^{-2s_1 \xi s} + v_1 s_2 e^{-2s_2 \xi s}) \right\} \end{aligned} \quad (38)$$

که در آن $\delta(x)$ تابع دلتای دیراک می‌باشد. برای حالت $s=0$ ، حل معادلات انتگرالی دوگانه بسیار ساده‌تر می‌شود. در حقیقت با تبدیلی مشابه (۴۲)، از حل معادلات (۳۰) و (۳۱) خواهیم داشت:

$$\theta_0(r) = \frac{c_{11}c_{33} - c_{13}^2}{c_{44}\sqrt{c_{11}c_{33}}} \frac{\Delta}{s_1 + s_2} \quad (50)$$

حل معادله انتگرالی فردholm

قبل از حل مسئله در حالت کلی، ابتدا چند حالت خاص که به صورت تحلیلی قابل حل می‌باشد، مورد بررسی قرار داده می‌شود:

حالت ۱: محیط بینهایت $s \rightarrow \infty$

در حالت محیط بینهایت^{۱۶}، هسته انتگرالی (۴۷) مساوی با صفر می‌شود و معادله (۴۵) به صورت زیر بدست می‌آید:

$$\theta_\infty(r) = \frac{2c_{33}(s_1 + s_2)}{c_{44} + \sqrt{c_{11}c_{33}}} \Delta \quad (51)$$

حالت ۲: دیسک بروی سطح $s \rightarrow 0^{+}$ ^{۱۷}
همانطور که در قسمت قبل بدست آمد، در حالت $s=0$ (دیسک بروی سطح) خواهیم داشت:

$$\theta_0(r) = \frac{c_{11}c_{33} - c_{13}^2}{c_{44}\sqrt{c_{11}c_{33}}} \frac{\Delta}{s_1 + s_2} \quad (52)$$

یک جواب ویژه با میل دادن $s \rightarrow 0$ در مسئله محیط مدفون بدست می‌آید. با استفاده از (۴۹) هسته انتگرالی (۴۷) به فرم زیر در خواهد آمد:

$$k_{0+}(x) = \frac{(s_1 + s_2)}{(c_{44} + c_{33}s_1s_2)(s_1 - s_2)^2} \times \\ \left\{ 2\left(\frac{\eta_1}{\eta_2}v_2 + \frac{\eta_2}{\eta_1}v_1\right)\frac{s_1s_2}{s_1 + s_2} - v_2s_1 - v_1s_2 \right\} \delta(x) \quad (53)$$

و با جایگذاری معادله فوق در (۴۵) رابطه دو ضابطه‌ای زیر بدست می‌آید:

$$\theta_{0+}(r) = \frac{c_{11}c_{33} - c_{13}^2}{c_{44}\sqrt{c_{11}c_{33}}} \frac{\Delta}{s_1 + s_2}, \quad 0 \leq r < a \quad (54)$$

$$\theta_{0+}(r) = \frac{2\Delta}{\sqrt{c_{11}c_{33}} + c_{44}} - \frac{\sqrt{c_{11}c_{33}}c_{44}(s_1 + s_2)}{2c_{33}(s_1 + s_2)} \quad (55)$$

$$K_s(r, \rho) = \pi(r\rho)^{\frac{1}{2}} \int_0^\infty \xi H_s(\xi) J_{-\frac{1}{2}}(r\xi) J_{-\frac{1}{2}}(\rho\xi) d\xi \quad (46)$$

شرط اعتبار آنالیز فوق، همگرایی انتگرال مربوط به $K_s(r, \rho)$ یعنی هسته معادله انتگرالی است. شرایط لازم برای $H(\xi)$ عبارتند از [۱۵]:

الف) در صورتی که ξ به سمت صفر میل کند، رفتار $H(\xi)$ باید همانند ξ باشد، به طوریکه $(2\gamma + \alpha + 2) > \lambda$ است. تمامی جملات رابطه (۳۸) دارای ترم $e^{-\xi}$ می‌باشد. بسط مک‌لورن تابع $e^{-\xi}$ از یک تابع چند جمله‌ای با توان‌های $0, 1, 2, \dots$ تشکیل شده‌است، بنابراین $H(\xi)$ شرط الگرف را به صورت $-1 = 0, 1, 2, \dots > -(2\lambda + (-1) + 2)$ ارضاء نماید.

ب) وقتی که ξ به سمت بینهایت میل می‌کند، $H(\xi)$ باید به سمت صفر برود. با توجه به وجود ترم $e^{-\xi}$ در رابطه (۳۸)، زمانیکه ξ به سمت بینهایت میل کند، $H(\xi)$ به سمت صفر میل می‌نماید.

برای مسئله ارائه شده در این مقاله، هسته انتگرالی (۴۶) به صورت تحلیلی در زیر بدست آمده‌است:

$$K_s(r, \rho) = k(r - \rho) + k(r + \rho) \quad (47)$$

که در آن

$$k(x) = \frac{2(s_1 + s_2)}{\pi(c_{44} + c_{33}s_1s_2)(s_1 - s_2)^2} \times \\ \left\{ s_1s_2 \left(\frac{\eta_1}{\eta_2}v_2 + \frac{\eta_2}{\eta_1}v_1 \right) \frac{s}{(s_1 + s_2)^2 s^2 + x^2} \right. \\ \left. - \left[v_2 s_1^2 \frac{s}{4s_1^2 s^2 + x^2} + v_1 s_2^2 \frac{s}{4s_2^2 s^2 + x^2} \right] \right\} \quad (48)$$

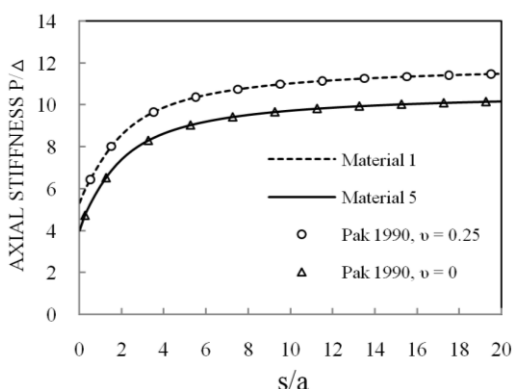
برای کاربردهای آینده، لازم به ذکر است که هنگامی که $s \rightarrow 0^+$ داریم:

$$\frac{2(s_1s)}{(2s_1s)^2 + x^2} \rightarrow \pi\delta(x), \quad \frac{2(s_2s)}{(2s_2s)^2 + x^2} \rightarrow \pi\delta(x), \\ \frac{(s_1 + s_2)}{[(s_1 + s_2)s]^2 + x^2} \rightarrow \pi\delta(x) \quad (49)$$

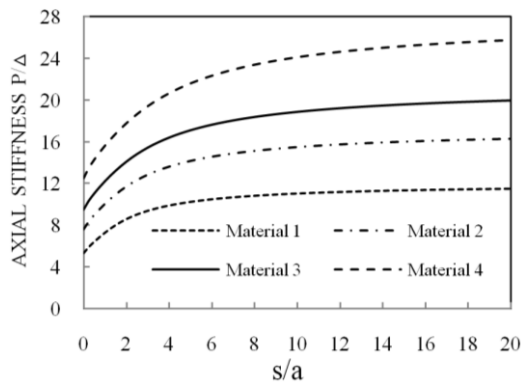
و در حالت $s=0$ بصورت معادله:

$$\frac{P}{c_{44}a\Delta} = \frac{c_{11}c_{33} - c_{13}^2}{c_{44} + \sqrt{c_{11}c_{33}}} \frac{4}{s_1 + s_2} \quad (61)$$

در می‌آید. رابطه تغییرمکان-بار بر حسب تابعی از s در اشکال (۳) و (۴) نشان داده شده است. شکل (۴) سختی محوری برای محیط‌های مختلف با رفتار ایزوتروپ جانبی را نشان می‌دهد. همانطور که مشاهده می‌شود با افزایش 'E'، سختی محوری نیز افزایش می‌یابد.



شکل ۳: مقایسه سختی محوری ماده ایزوتروپ با مقاله Pak و Gobert (۱۹۹۰)



شکل ۴: مقایسه سختی محوری برای محیط‌های ایزوتروپ جانبی با مصالح مختلف

در این مقاله برای حل مسئله در عمق محدود و در محیط نیمه بینهایت، از روش ذوزنقه برای برآورد عددی معادله انتگرالی فردھلم استفاده شده است. به منظور ارائه نتایج عددی، ۳ نوع مصالح مختلف با رفتار ایزوتروپ جانبی به همراه ۲ نوع مصالح ایزوتروپ در نظر گرفته شده است. جدول (۱) خصوصیات مکانیکی را برای این مواد ارائه می‌کند. به منظور ارزیابی میزان دقت نتایج عددی حاصل از این مقاله در هر مرحله مقایسه‌هایی با نتایج موجود برای مصالح ایزوتروپ ارائه شده توسط Pak و Gobert در سال ۱۹۹۰ [۱۱] انجام گرفته است. تطابق خوب جواب‌ها معرف صحت نتایج بدست آمده در این مقاله می‌باشد.

همان‌طور که در معادله (۵۲) نشان داده شد، در حالتی که $s \rightarrow 0$ مسئله در لبه دیسک یک جهش ناگهانی دارد. اثر این جهش در قسمت‌های بعد بررسی خواهد شد.

۱۸ سختی محوری

نیروی لازم برای تحمل جابجایی قائم دیسک توسط معادله (۵۶) بدست می‌آید:

$$P = \int_0^a R(r) 2\pi r dr \quad (56)$$

با کمک معادله (۴۲) و تعریف زیر:

$$\int_0^\infty \xi^{\frac{1}{2}} J_{-\frac{1}{2}}(\rho \xi) J_{-1}(r \xi) d\xi = \frac{(\rho^2 - r^2)^{-\frac{1}{2}}}{2^{-\frac{1}{2}} \Gamma(\frac{1}{2}) \rho^{-\frac{1}{2r}}} \quad \rho > r \quad (57)$$

$$\int_0^\infty \xi^{\frac{1}{2}} J_{-\frac{1}{2}}(\rho \xi) J_{-1}(r \xi) d\xi = 0, \quad \rho < r \quad (58)$$

معادله (۵۶) به معادله زیر تبدیل می‌شود:

$$P = 4c_{44}a \int_0^a \theta(\rho) d\rho \quad (59)$$

که در صورت حل معادله فردھلم به صورت مستقیم بدست می‌آید:

در حالت $s \rightarrow \infty$ ، معادله (۵۹) به معادله زیر:

$$\frac{P}{c_{44}a\Delta} = \frac{8c_{33}(s_1 + s_2)}{c_{44} + \sqrt{c_{11}c_{33}}} \quad (60)$$

جدول ۱: خصوصیات مکانیکی مصالح مختلف

محلج	$C_{12} (\times 10^4 \text{ N/mm}^2)$	$C_{13} (\times 10^4 \text{ N/mm}^2)$	$C_{44} (\times 10^4 \text{ N/mm}^2)$	$C_{33} (\times 10^4 \text{ N/mm}^2)$	$C_{11} (\times 10^4 \text{ N/mm}^2)$	ν'	ν	ν'	ν	ν'	ν
۱ (Isotropic)	۵	۵	۲	۲	۰/۲۵	۰/۲۵	۶	۶	۲	۲	۲
۲	۵	۱۰	۲	۲	۰/۲۵	۰/۲۵	۵/۶	۱۰/۹	۲	۱/۸	۱/۶
۳	۵	۱۵	۲	۲	۰/۲۵	۰/۲۵	۵/۵	۱۵/۹	۲	۱/۸	۱/۵
۴	۵	۲۵	۲	۲	۰/۲۵	۰/۲۵	۵/۴	۲۵/۹	۲	۱/۷	۱/۴
۵ (Isotropic)	۵	۵	۲/۵	۲/۵	•	•	۵	۵	۲/۵	•	•

$$\gamma_3(\xi, z; s) = \frac{1}{8(1-\nu)\xi} \left\{ -\xi(z-s)e^{-\xi|z-s|} + [4(1-2\nu)(1-\nu) - (3-4\nu)(z-s)\xi - 2zs\xi^2]e^{-\xi(z+s)} \right\} \quad (66)$$

و Gobert و Pak در سال ۱۹۹۰ برای محیط نیمه بینهایت با رفتار ایزوتrop رابطه (۶۶) را برای بارگذاری در عمق $s = z$ در مرجع شماره [۱۱] بیان کردند. با بکارگیری (۲۶)، (۳۸)، (۴۲) و با در نظر گرفتن اینکه:

$$J_{-\frac{1}{2}}(x) = \sqrt{\frac{2}{\pi x}} \cos(x) \quad (67)$$

توزیع نیروی تماس در فضای تبدیل یافته به شرح زیر است:

$$\tilde{R}^0(\xi) = \frac{c_{44}B(\xi)}{\xi} = \frac{2c_{44}}{\pi} \int_0^a \theta(\rho) \cos(\xi\rho) d\rho \quad (68)$$

با قرار دادن (۶۸) در (۶۲) و (۶۳)، تغییر مکانها به صورت مستقیم بر حسب θ محاسبه می‌شود. برای حالت $s \rightarrow \infty$ تغییر مکانها به صورت تحلیلی در زیر ارائه شده است:

$$u_{z_x}(r, z) = \frac{2\Delta}{\pi(c_{44} + \sqrt{c_{11}c_{33}})(s_1 - s_2)} \times \{v_2 s_1 \sin^{-1} \left(\frac{2a}{f_1^I + f_1^{II}} \right) - v_1 s_2 \sin^{-1} \left(\frac{2a}{f_2^I + f_2^{II}} \right)\} \quad (69)$$

پاسخ محیط به دیسک صلب مدفون

با توجه به رابطه (۲۵)، تغییر مکان قائم به صورت زیر بیان می‌شود:

$$u_z(r, z) = \int_0^\infty \xi \Omega_2(\xi, z; s) \frac{\tilde{R}^0(\xi)}{c_{44}} J_0(r\xi) d\xi \quad (62)$$

به صورت مشابه، با استفاده از (۲۱) و (۲۲)، تغییر مکان شعاعی به شرح زیر به دست می‌آید:

$$u_z(r, z) = \int_0^\infty -\xi \gamma_3(\xi, z; s) \frac{\tilde{R}^0(\xi)}{c_{44}} J_1(r\xi) d\xi \quad (63)$$

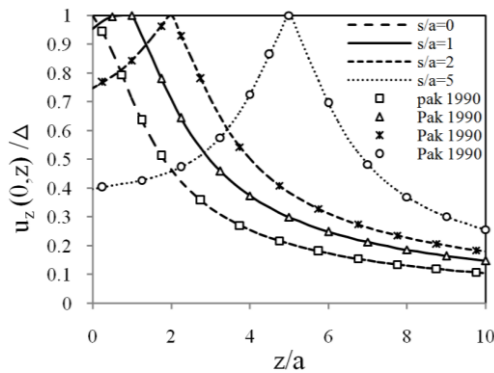
که در آن

$$\begin{aligned} \gamma_3 &= \frac{(c_{13} + c_{44})}{2c_{33}\xi(s_1^2 - s_2^2)} \{ \operatorname{sgn}(z-s) (e^{-s_1\xi|z-s|} - e^{-s_2\xi|z-s|}) \\ &\quad - \frac{s_1 + s_2}{s_1 - s_2} (e^{-\xi s_1(z+s)} + e^{-\xi s_2(z+s)}) \} \\ &\quad + \frac{2}{(s_1 - s_2)} \left(\frac{\eta_1}{\eta_2} s_2 e^{-\xi(s_1 z + s_2 s)} + \frac{\eta_2}{\eta_1} s_1 e^{-\xi(s_2 z + s_1 s)} \right) \end{aligned} \quad (64)$$

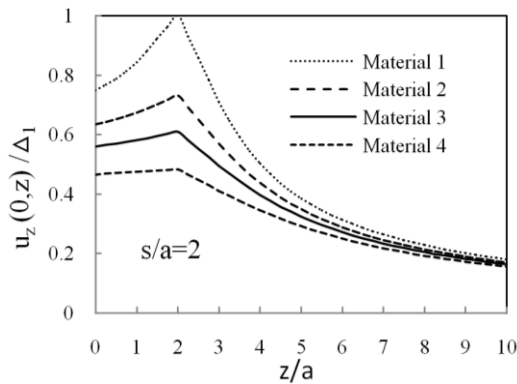
که در آن

$$\operatorname{sgn}(z-s) = \begin{cases} +1, & z > s \\ -1, & z < s \end{cases} \quad (65)$$

اگر $c_{11} = c_{66}$ برای مصالح ایزوتrop از رابطه (۴) جایگزین شوند، در این صورت رابطه (۶۴) به شرح زیر در می‌آید:

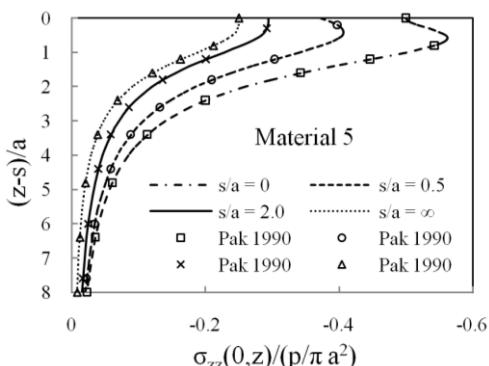


شکل ۵: مقایسه تغییر مکان در راستای عمق ماده ایزوتروپ با مقاله Gobert و Pak (۱۹۹۰)



شکل ۶: مقایسه تغییر مکان در راستای عمق برای محیط‌های مختلف با رفتار ایزوتروپ جانبی

تغییر مکان قائم برای محیط‌های مختلف با رفتار ایزوتروپ جانبی برای $s/a = 2$ در شکل (۶) نشان داده است. همانطور که مشاهده می‌شود با افزایش E' ، تغییر مکان قائم کاهش می‌یابد.



شکل ۷: مقایسه $\sigma_{zz}(z)/a$ بر حسب $r=0$ ماده ایزوتروپ با مقاله Gobert و Pak (۱۹۹۰)

$$u_{r_0}(r, z) = \frac{2\Delta(c_{13} + c_{44})}{\pi(c_{44} + \sqrt{c_{11}c_{33}})(s_1 - s_2)} \operatorname{sgn}(z - s) \left\{ \frac{\sqrt{f_1^I f_1^{II}} \sin \alpha_1 - \sqrt{f_2^I f_2^{II}} \sin \alpha_2}{r} \right\} \quad (70)$$

که در آن

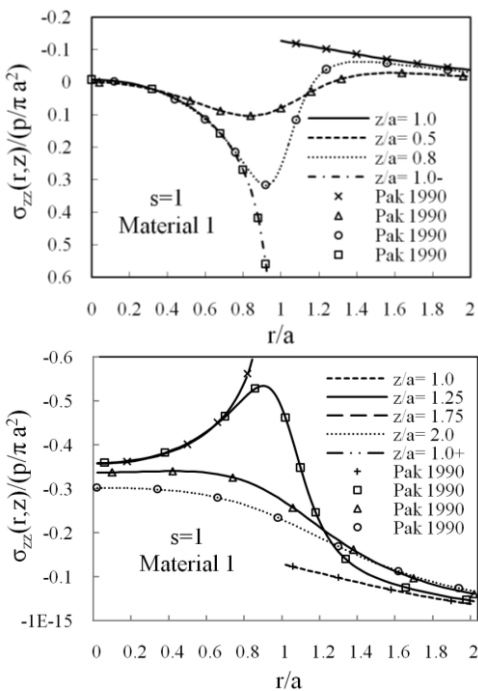
$$\begin{aligned} f_i^I &= \sqrt{d_i^2 + (a - r)^2} \\ f_i^{II} &= \sqrt{d_i^2 + (a + r)^2} \\ \alpha_i &= \frac{1}{2} \sin^{-1} \left(\frac{2ad_i}{f_i^I f_i^{II}} \right) \\ d_i &= s_i |s - z| \end{aligned} \quad (71)$$

به صورت مشابه برای حالت $s = 0$ (دیسک روی سطح) بدست می‌آید:

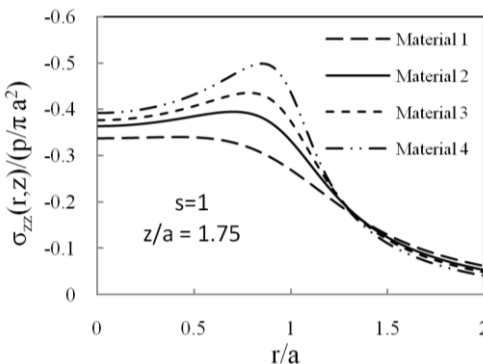
$$u_{r_0}(r, z) = \frac{2(c_{11}c_{33} - c_{13}^2)\Delta}{\pi(s_1^2 - s_2^2)c_{44}c_{33}} \times \left\{ \frac{v_2}{\eta_2} \sin^{-1} \left(\frac{2a}{f_1^I + f_1^{II}} \right) - \frac{v_1}{\eta_1} \sin^{-1} \left(\frac{2a}{f_2^I + f_2^{II}} \right) \right\} \quad (72)$$

$$u_{r_0}(r, z) = \frac{2(c_{11}c_{33} - c_{13}^2)(c_{13} + c_{44})\Delta}{\pi c_{44} \sqrt{c_{11}c_{33}} (s_1^2 - s_2^2)} \times \left\{ \frac{s_1}{r\eta_1} (1 - \sqrt{f_2^I f_2^{II}} \sin \alpha_2) - \frac{s_2}{r\eta_2} (1 - \sqrt{f_1^I f_1^{II}} \sin \alpha_1) \right\} \quad (73)$$

در حالت کلی $s < 0$ ، (۶۲) و (۶۳) باید به صورت عددی برآورد شوند. دقت در نتایج تنها وابسته به کیفیت و دقت حل معادله انتگرالی فردholm می‌باشد. علاوه بر آن در این مقاله حل تحلیلی برای دو حالت محیط بینهایت و دیسک روی سطح نیز ارائه شده است. شکل (۵) تغییر مکان در راستای قائم دیسک صلب مدفون در عمق های مختلف را نشان می‌دهد.



شکل ۹: مقایسه σ_{zz} بر حسب r ماده ایزوتrop با مقاله (۱۹۹۰) Gobert و Pak

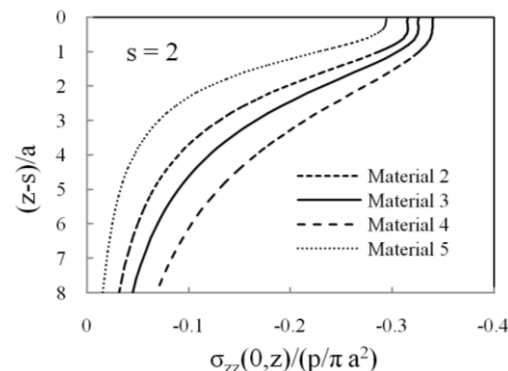


شکل ۱۰: مقایسه σ_{zz} بر حسب $r=1.75$ در $z/a=1.75$ برای میانی و با مصالح مختلف

همچنین از روند مشابهی برای محاسبه تنشها می‌توان استفاده نمود. بدین منظور با استفاده از (۲۱) و (۲۲) داریم:

$$\sigma_{zz} = \int_0^\infty \xi (c_{33} \frac{d\Omega_2}{dz} - c_{13} \xi \gamma_3) \frac{\tilde{R}^0(\xi)}{c_{44}} J_0(r\xi) d\xi \quad (74)$$

تنش قائم σ_{zz} به صورت مشابه با تغییر مکان بدست می‌آید. نمونه‌ای از تغییرات شعاعی و قائم تنش σ_{zz} در اشکال (۷) و (۹) نشان داده شده است.



شکل ۸: مقایسه σ_{zz} بر حسب $(z-s)/a$ در $r=0$ برای محیط‌های با رفتار ایزوتrop جانی و با مصالح مختلف

تأثیر مصالح مختلف با رفتار ایزوتrop جانی بر تغییرات قائم تنش σ_{zz} در $r=0$ برای عمق $s=2$ در شکل (۸) نشان داده شده است. همانطور که مشاهده می‌شود با افزایش E' ، تنش قائم σ_{zz} کاهش می‌یابد. همچنین در شکل (۱۰) تغییرات شعاعی تنش σ_{zz} برای محیط‌های با رفتار ایزوتrop جانی و مصالح مختلف ارائه شده است. با توجه به شکل (۱۰) مشاهده می‌شود که تنش شعاعی σ_{zz} با افزایش E' ، افزایش می‌یابد.

توزیع نیروی تماسی

با استفاده از معادله (۶۶) و رابطه زیر:

$$\int_0^\infty J_0(r\xi) \sin(\rho\xi) d\rho = \frac{1}{\sqrt{\rho^2 - r^2}} H(\rho - r) \quad (75)$$

که در آن $H(r)$ تابع هویساید (Heaviside) می‌باشد، توزیع نیروی تماسی به صورت زیر بدست می‌آید:

$$R(r) = \frac{2c_{44}}{\pi} \left[\frac{\theta(a)}{\sqrt{a^2 - r^2}} - \int_r^a \frac{\theta'(\rho) d\rho}{\sqrt{\rho^2 - r^2}} \right] \quad (76)$$

$$\lim_{s \rightarrow 0} \lim_{r \rightarrow a} \frac{R_s(r)}{R_0(r)} = \frac{\theta_{0^+}(a)}{\theta_0(a)} =$$

$$\frac{2c_{44}\sqrt{c_{11}c_{33}}(s_1 + s_2)}{(c_{11}c_{33} - c_{13}^2) \left(\frac{\sqrt{c_{11}c_{33}} + c_{44}}{2c_{33}(s_1 + s_2)} - \frac{\sqrt{c_{11}c_{33}}c_{44}(s_1 + s_2)}{c_{11}c_{33} - c_{13}^2} \right)} \quad (80)$$

تغییرات توزیع نیروی تماسی به عنوان تابعی از s در شکل (۱۱) نشان داده شده است. با افزایش s از صفر، توزیع نیروی تماسی ابتدا سریعاً کاهش پیدا می‌کند و سپس با افزایش s توزیع نیروی تماسی برای دو حالت دیسک روی سطح و محیط بینهایت به جواب‌های یکسانی همگرا می‌شود.

برای $s \rightarrow \infty$, رابطه (۷۶) به معادله زیر تبدیل می‌شود

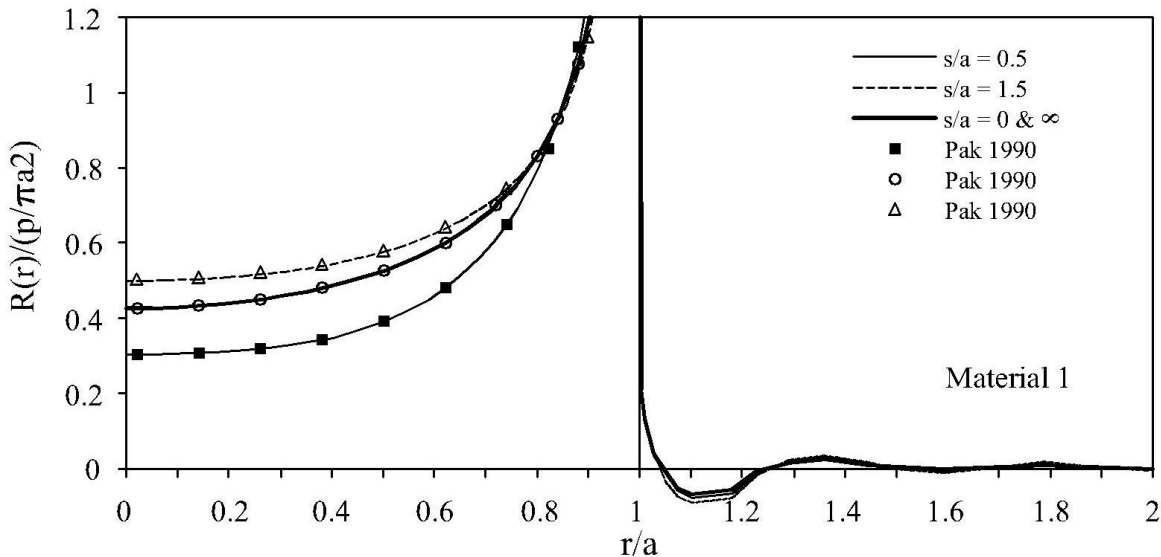
$$R_\infty(r) = \frac{4c_{33}c_{44}(s_1 + s_2)}{c_{44} + \sqrt{c_{11}c_{33}}} \frac{\Delta}{\pi\sqrt{a^2 - r^2}} \quad (77)$$

و برای $s = 0$ خواهیم داشت:

$$R_0(r) = \frac{c_{11}c_{33} - c_{13}^2}{(s_1 + s_2)\sqrt{c_{11}c_{33}}} \frac{2\Delta}{\pi\sqrt{a^2 - r^2}} \quad (78)$$

با مقایسه روابط (۵۰) و (۵۱)، انتظار این می‌رود که توزیع نیروی تماسی برای $s \rightarrow 0^+$ با آنچه در (۷۱) تشریح شده است، متفاوت باشد. در حقیقت، با کمک رابطه (۶۸) می‌توان نشان داد:

$$\lim_{s \rightarrow 0} \frac{R_s(r)}{R_0(r)} = 1, \quad r \in [0, a) \quad (79)$$



شکل ۱۱: مقایسه توزیع نیروی تماسی بر دیسک ماده ایزوتrop با مقاله Gobert و Pak (۱۹۹۰)

فردهلم نوع دوم، مسئله به صورت عددی حل شده است. همچنین مسئله در دو حالت محیط نامحدود و دیسک بروی سطح نیز در هر مرحله به صورت تحلیلی دقیق بدست آمده است. نتایج برای محیط‌های ایزوتrop با استفاده از نتایج بدست آمده برای محیط‌های ایزوتrop جانبی بصورت تحلیلی بدست آمده و با نتایج موجود برای محیط‌های ایزوتrop مقایسه شده است. همچنین به منظور تأیید روش انتگرال‌گیری عددی انتخاب شده نتایج عددی برای محیط‌های ایزوتrop با استفاده از جواب‌های نتیجه شده برای محیط‌های ایزوتrop جانبی بدست آمده و با نتایج موجود برای محیط‌های ایزوتrop مقایسه

نتیجه‌گیری

در این مقاله یک روش تحلیلی دقیق برای بدست آوردن پاسخ محیط نیمه بینهایت با رفتار ایزوتrop جانبی تحت اثر بار قائم وارد بر دیسک صلب مدفعون ارائه شده است. معادلات تعادل دینامیکی حاکم بر مسئله در دستگاه مختصات استوانه‌ای (r, θ, z) بصورت یک سری معادلات درگیر می‌باشد. با استفاده از دوتابع پتانسیل برای مسائل الاستودینامیک این معادلات بطور کامل مجزا سازی شده‌اند. با استفاده از تبدیل هنکل در امتدادشعاعی و اعمال شرایط مرزی معادلات انتگرالی دوگانه بدست آمده است. با تبدیل معادلات انتگرالی دوگانه به معادله انتگرالی

گردیده است. به منظور نشان دادن میزان نایزوتروپی مصالح بر پاسخ، نتایج عددی مختلف در هر قسمت ارائه گردیده است. همچنین توزیع نیروی تماسی با جزئیات مورد بررسی قرار گرفت.

مراجع

1. J. Boussinesq. (1885). "Application des potential à l'étude de l'équilibre et du mouvement des solides élastiques." Gauthier-Villars, Paris.
2. J. W. Harding and I. N. Sneddon. (1945). "The elastic stresses produced by the indentation of the plane surface of a semi-infinite elastic solid by a rigid punch." Proc. Camb. Phil. Sec. 41, PP. 16-26.
3. W. D. Collins. (1962). "Some axially symmetric stress distributions in elastic solids containing penny-shaped cracks." Prec. Roy. Soc. Lond., Ser. A 203, PP. 359-386.
4. L. M. Keer. (1965). A note on the solution of two asymmetric boundary value problems. Int. J. Solids Struct. 1, PP. 257-264.
5. M. K. Kassir and G. C. Sih, (1968). "Some three-dimensional inclusion problems in elasticity." Int. J. Solids Struct. 4, PP. 225-241.
6. Snedon, I. N. (1951). Fourier transforms. McGraw-Hill, New York, N. Y.
7. L. M. Keer. (1967). "Mixed boundary value problems for an elastic half-space." Prec. Cambridge Phil. Sec. 63, PP. 1379-138.
8. D. A. Spence. (1968). "Self-similar solutions to adhesive contact problems with incremental loading." Proc. Roy. Soc. Lond., Ser. A 305, PP. 55-80.
9. A. P. S. Selvadurai. (1979). "Elastic Analysis of Soil-Foundation Interaction." Elsevier, North-Holland.
10. R. Butterfield and P. K. Banerjee (1971). "A rigid disc embedded in an elastic half-space." Geotech. Engrg. 2, PP. 35-49.
11. R. Y. S. Pak and A. T. Gobert. (1990). "On the axisymmetric interaction of a rigid disc with a semi-infinite solid." Journal of Applied Mathematics and Physics (ZAMP), Vol. 41, 5, PP. 684-700.
12. Lekhnitskii, S. G. (1981). "Theory of elasticity of an anisotropic body." Mir Publishers Moscow.
13. A. Khojasteh, M. Rahimian, M. Eskandari and R. Y. S. Pak. (2008). "Asymmetric wave propagation in a transversely isotropic half-space in displacement potentials." Int. J. of Engineering Science, Vol. 46, 7, PP. 690-710.
14. Eskandari-Ghadi, M. (2005). "A complete solutions of the wave equations in the transversely isotropic media." J. o Elasticity, 81, PP. 1-19.
15. B. Noble. (1963). "The solution of Bessel function dual integral equations by a multiplying-factor method." Prec. Camb. Phil. Soc. 59, PP. 351-362.

واژه‌های انگلیسی به ترتیب استفاده در متن

- | | |
|--------------------------------|--------------------------------|
| 1 – Rigid Disc | 10 – Orthotropic |
| 2 – Transversely Isotropic | 11 – Contact Load distribution |
| 3 – Coupled | 12 – Inverse Transform |
| 4 – Potential Function | 13 – Bessel Function |
| 5 – Elastodynamic | 14 – Transformed Domain |
| 6 – Hankel Transform | 15 – Kernel |
| 7 – Dual Integral Equations | 16 – Infinite Medium |
| 8 – Fredholm Integral Equation | 17 – Surface Disk |
| 9 – Anisotropic | 18 – Axial Stiffness |